

Advanced Kernel Methods for Multi-Task Learning

Tesis dirigida por José Dorronsoro y Carlos Alaíz

Carlos Ruiz Pastor

20 de abril de 2023



Universidad Autónoma
de Madrid

- ▶ Introducción
- ▶ Formulación convexa para aprendizaje multitarea: máquinas de vectores soporte
- ▶ Formulación convexa para aprendizaje multitarea: redes neuronales
- ▶ Laplaciano adaptativo para aprendizaje multitarea
- ▶ Conclusiones y trabajo futuro

► Introducción

- Formulación convexa para aprendizaje multitarea: máquinas de vectores soporte
- Formulación convexa para aprendizaje multitarea: redes neuronales
- Laplaciano adaptativo para aprendizaje multitarea
- Conclusiones y trabajo futuro

Aprendizaje automático

1. Introducción

- En el aprendizaje supervisado tenemos
 - un espacio de entrada \mathcal{X}
 - un espacio de salida \mathcal{Y}
 - y una distribución $P(x, y)$ (desconocida) sobre $\mathcal{X} \times \mathcal{Y}$
- Queremos estimar la relación entre x e y :

$$f : \mathcal{X} \rightarrow \mathcal{Y}$$

- Consideramos funciones h un espacio de hipótesis H
- Dada una función $h : \mathcal{X} \rightarrow \mathcal{Y}$, definimos una función de pérdida como

$$\begin{aligned} \ell : \mathcal{Y} \times \mathcal{Y} &\rightarrow [0, \infty) \\ (y, h(x)) &\rightarrow \ell(y, h(x)) \end{aligned}$$

Riesgo esperado

1. Introducción

- Definimos el Riesgo Esperado como

$$R_P(h) = \int_{\mathcal{X} \times \mathcal{Y}} \ell(y, h(x)) dP(x, y), \quad h \in \mathcal{H}$$

- El objetivo es minimizar el Riesgo Esperado:

$$h^* = \arg \min_{h \in \mathcal{H}} \left\{ R_P(h) = \int_{\mathcal{X} \times \mathcal{Y}} \ell(y, h(x)) dP(x, y) \right\}$$

- Pero la distribución $P(x, y)$ es desconocida

Riesgo empírico

1. Introducción

- En su lugar tenemos n muestras de $P(x, y)$:

$$D = \{(x_i, y_i) \sim P(x, y), i = 1, \dots, n\}$$

- Definimos el Riesgo Empírico como

$$\hat{R}_D(h) = \frac{1}{n} \sum_{i=1}^n \ell(y_i, h(x_i))$$

- Una estrategia común es minimizar el Riesgo Empírico Regularizado:

$$\arg \min_{h \in \mathcal{H}} \left\{ \frac{1}{n} \sum_{i=1}^n \ell(y_i, h(x_i)) + \Omega(h) \right\}$$

Aprendizaje multitarea

1. Introducción

- En aprendizaje multitarea con T tareas tenemos
 - un espacio de entrada \mathcal{X} ,
 - un espacio de salida \mathcal{Y} ,
 - y T distribuciones $\mathbf{P} = (P_1, \dots, P_T)$ (desconocidas) sobre $\mathcal{X} \times \mathcal{Y}$
- Tenemos que estimar T hipótesis $\mathbf{h} = (h_1, \dots, h_T) \in \mathcal{H}^T$
- El Riesgo Esperado multitarea es

$$R_{\mathbf{P}}(\mathbf{h}) = \sum_{r=1}^T \int_{\mathcal{X} \times \mathcal{Y}} \ell(\gamma, h_r(x)) dP_r(x, \gamma)$$

Riesgo empírico multitarea

1. Introducción

- Tenemos una muestra multitarea

$$\mathbf{D} = \bigcup_{r=1}^T \{(x_i^r, y_i^r) \sim P_r(x, y), i = 1, \dots, m_r\}$$

- El Riesgo Empírico multitarea es

$$\hat{R}_{\mathbf{D}}(\mathbf{h}) = \sum_{r=1}^T \frac{1}{m_r} \sum_{i=1}^{m_r} \ell(y_i^r, h_r(x_i^r))$$

- Minimizamos el Riesgo Empírico Regularizado multitarea

$$\arg \min_{\mathbf{h} \in \mathcal{H}^T} \left\{ \sum_{r=1}^T \frac{1}{m_r} \sum_{i=1}^{m_r} \ell(y_i^r, h_r(x_i^r)) + \Omega(\mathbf{h}) \right\}$$

CTL vs ITL vs MTL

1. Introducción

- Hay tres opciones para minimizar el Riesgo Regularizado multitarea
 - Aprendizaje común (CTL): se usa un modelo común para todas las tareas

$$\arg \min_{h \in \mathcal{H}} \left\{ \sum_{r=1}^T \frac{1}{m_r} \sum_{i=1}^{m_r} \ell(y_i^r, h(x_i^r)) + \Omega(h) \right\}$$

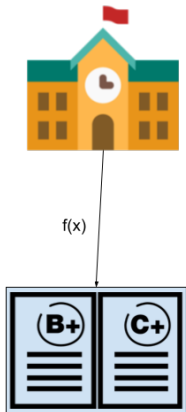
- Aprendizaje independiente (ITL): se usan modelos independientes en cada tarea

$$\arg \min_{\mathbf{h} \in \mathcal{H}^T} \left\{ \sum_{r=1}^T \frac{1}{m_r} \sum_{i=1}^{m_r} \ell(h_r(x_i^r), y_i^r) + \sum_{r=1}^T \Omega_r(h_r) \right\}$$

- Aprendizaje multitarea (MTL): se usan modelos específicos que comparten información

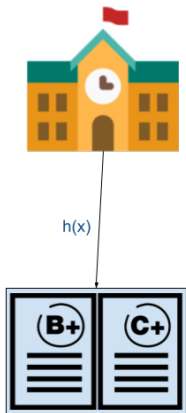
Aprendizaje estándar: una tarea

1. Introducción



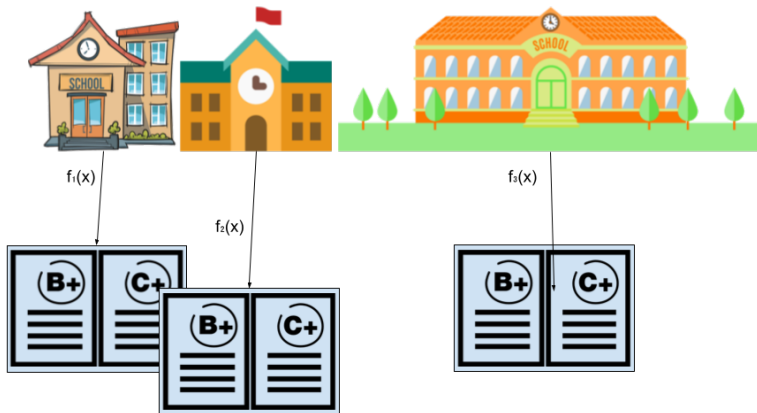
Aprendizaje estándar: una tarea

1. Introducción



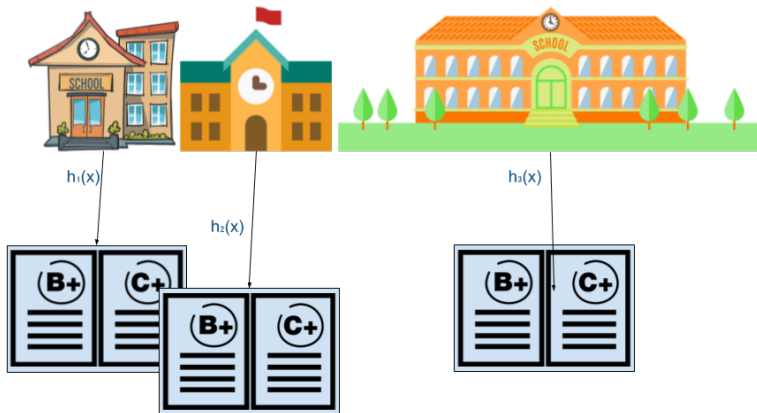
Aprendizaje estándar: varias tareas

1. Introducción



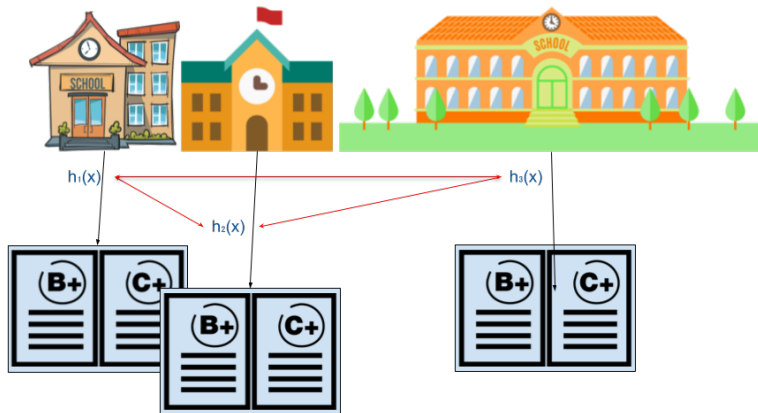
Aprendizaje estándar: varias tareas

1. Introducción



Aprendizaje multitarea

1. Introducción



Aprendizaje multitarea: estrategias

1. Introducción

- Modelos basados en características (más comunes en redes neuronales)

$$\sum_{r=1}^T \frac{1}{m_r} \sum_{i=1}^{m_r} \ell(g_r \circ f(x_i^r), y_i^r) + \Omega(f) + \Omega(g_1, \dots, g_T)$$

- Modelos basados en regularización (más comunes con modelos lineales)

$$\sum_{r=1}^T \frac{1}{m_r} \sum_{i=1}^{m_r} \ell(h_r(x_i^r), y_i^r) + \Omega(h_1, \dots, h_T), \quad \Omega(h_1, \dots, h_T) \neq \sum_{r=1}^T \Omega_r(h_r)$$

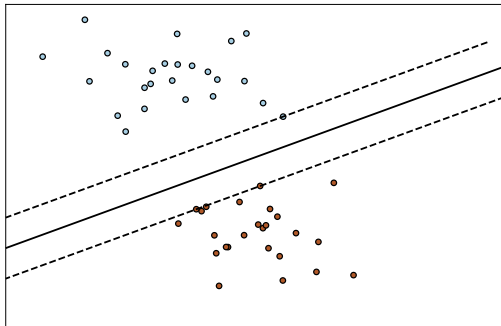
- Modelos basados en combinación (más comunes con SVMs)

$$\sum_{r=1}^T \frac{1}{m_r} \sum_{i=1}^{m_r} \ell(g(x_i^r) + g_r(x_i^r), y_i^r) + \Omega(g) + \Omega(g_1, \dots, g_T)$$

Máquinas de vectores soporte (SVM)

1. Introducción

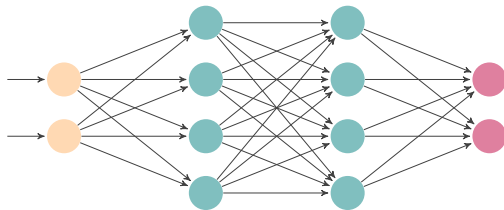
- Se definen usando problemas convexos
- Se puede aplicar el truco del kernel
- Tienen una limitación computacional
- *Mejores para problemas pequeños*



Redes Neuronales (NN)

1. Introducción

- Son muy flexibles
- Escalan linealmente con el tamaño de los problemas que se usan
- Necesitan muchos datos
- *Mejores para problemas grandes*



Objetivos y contribuciones

1. Introducción

- **Objetivos**

- Formulación más interpretable para el aprendizaje MT con SVM
- Modelos neuronales MT alternativos basados en combinaciones
- Método para aprender la relación entre tareas

- **Contribuciones**

- Revisión del estado del arte sobre aprendizaje multitarea
- Combinación convexa para SVM MT¹
- Combinación convexa para redes neuronales MT²
- Regularización laplaciana adaptativa para SVM MT

¹<https://github.com/carlosruizp/mtlskl>

²<https://github.com/carlosruizp/convexMTLPyTorch>

► Introducción

► **Formulación convexa para aprendizaje multitarea: máquinas de vectores soporte**

► Formulación convexa para aprendizaje multitarea: redes neuronales

► Laplaciano adaptativo para aprendizaje multitarea

► Conclusiones y trabajo futuro

SVM

2. Formulación convexa para aprendizaje multitarea: máquinas de vectores soporte

Problema Primal - SVM

$$\begin{aligned} \min_{w, b, \xi} \quad & C \sum_{i=1}^n \xi_i + \frac{1}{2} \|w\|^2 \\ \text{s.t.} \quad & \gamma_i (\langle w, \phi(x_i) \rangle + b) \geq p_i - \xi_i, \\ & \xi_i \geq 0 \end{aligned}$$

- Se puede ver que esta formulación es equivalente a
 - Máquina de Vectores Soporte para Clasificación (SVC): $p_i = 1$ para $i = 1, \dots, n$
 - Máquina de Vectores Soporte para Regresión (SVR): se duplican los patrones
 - $\gamma_i = 1$, $p_i = t_i - \epsilon$, en la primera mitad
 - $\gamma_i = -1$, $p_i = -t_i - \epsilon$, en la segunda mitad

SVM

2. Formulación convexa para aprendizaje multitarea: máquinas de vectores soporte

Problema Dual - SVM

$$\begin{aligned} \min_{\alpha} \quad & \frac{1}{2} \alpha^T Q \alpha - \alpha^T p \\ \text{s.t.} \quad & \sum_{i=1}^n \gamma_i \alpha_i = 0, \\ & 0 \leq \alpha_i \leq C \end{aligned}$$

- Aquí Q es la matriz de kernel (con etiqueta)
 - SVM lineal: $Q_{ij} = \gamma_i \gamma_j \langle x_i, x_j \rangle$
 - SVM no lineal: $Q_{ij} = \gamma_i \gamma_j k(x_i, x_j) = \gamma_i \gamma_j \langle \phi(x_i), \phi(x_j) \rangle$

Formulación aditiva con SVM

2. Formulación convexa para aprendizaje multitarea: máquinas de vectores soporte

- Una manera de implementar el MTL es combinar una parte común y otras específicas
- Fue propuesta³ inicialmente para SVM lineales:

$$h_r(\cdot) = \langle \mathbf{w} + \mathbf{v}_r, \cdot \rangle + b_r$$

- Fue extendida al caso no lineal⁴:

$$h_r(\cdot) = \langle \mathbf{w}, \phi(\cdot) \rangle + \langle \mathbf{v}_r, \phi_r(\cdot) \rangle + b_r$$

³Theodoros Evgeniou y Massimiliano Pontil. "Regularized multi-task learning". En: *Proceedings of the Tenth ACM SIGKDD International Conference on Knowledge Discovery and Data Mining*. ACM, 2004, págs. 109-117.

⁴Feng Cai y Vladimir Cherkassky. "SVM+ regression and multi-task learning". En: *International Joint Conference on Neural Networks*. 2009, págs. 418-424.

Formulación aditiva para SVM MT

2. Formulación convexa para aprendizaje multitarea: máquinas de vectores soporte

Problema primal - SVM MT aditiva

$$\begin{aligned} \arg \min_{\mathbf{w}, \mathbf{v}, \mathbf{b}, \xi} \quad & C \sum_{r=1}^T \sum_{i=1}^{m_r} \xi_i^r + \frac{1}{2} \sum_{r=1}^T \|\mathbf{v}_r\|^2 + \frac{\mu}{2} \|\mathbf{w}\|^2 \\ \text{s.t.} \quad & \gamma_i^r (\langle \mathbf{w}, \phi(\mathbf{x}_i^r) \rangle + \langle \mathbf{v}_r, \phi_r(\mathbf{x}_i^r) \rangle + b_r) \geq p_i^r - \xi_i^r, \\ & \xi_i^r \geq 0; \quad i = 1, \dots, m_r, \quad r = 1, \dots, T \end{aligned}$$

- El parámetro μ (junto con C) regula la influencia de cada parte:
 - $\mu \rightarrow \infty$: modelos independientes (ITL)
 - $C \rightarrow 0, \mu \rightarrow 0$: modelo común (CTL)
- Tenemos la transformación común ϕ y las específicas ϕ_r

Formulación convexa con SVM

2. Formulación convexa para aprendizaje multitarea: máquinas de vectores soporte

- Proponemos⁵ la siguiente formulación convexa para el aprendizaje multitarea:

$$h_r(\cdot) = \lambda_r \{ \langle \mathbf{w}, \phi(\cdot) \rangle + b \} + (1 - \lambda_r) \{ \langle \mathbf{v}_r, \phi_r(\cdot) \rangle + d_r \}, \lambda_r \in [0, 1]$$

- Los hiperparámetros λ_r , en lugar de μ , regulan la influencia de cada parte
 - $\lambda_1, \dots, \lambda_T = 0$: ITL
 - $\lambda_1, \dots, \lambda_T = 1$: CTL
- Extendemos esta formulación⁶ y desarrollamos tres variantes de SVM

⁵Carlos Ruiz, Carlos M. Alaíz y José R. Dorronsoro. "A Convex Formulation of SVM-Based Multi-task Learning". En: *HAIS Proceedings*. Vol. 11734. Springer, 2019, págs. 404-415.

⁶Carlos Ruiz, Carlos M. Alaíz y José R. Dorronsoro. "Convex formulation for multi-task L1-, L2-, and LS-SVMs". En: *Neurocomputing* 456 (2021), págs. 599-608.

Formulación convexa para SVM MT

2. Formulación convexa para aprendizaje multitarea: máquinas de vectores soporte

Problema primal - SVM MT convexa

$$\begin{aligned} \min_{\mathbf{w}, \mathbf{v}, \mathbf{b}, \mathbf{d}, \boldsymbol{\xi}} \quad & C \sum_{r=1}^T \sum_{i=1}^{m_r} \xi_i^r + \frac{1}{2} \sum_{r=1}^T \|\mathbf{v}_r\|^2 + \frac{1}{2} \|\mathbf{w}\|^2 \\ \text{s.t.} \quad & \gamma_i^r (\lambda_r \{ \langle \mathbf{w}, \phi(\mathbf{x}_i^r) \rangle + b \} + (1 - \lambda_r) \{ \langle \mathbf{v}_r, \phi_r(\mathbf{x}_i^r) \rangle + d_r \}) \geq p_i^r - \xi_i^r, \\ & \xi_i^r \geq 0, \quad i = 1, \dots, m_r, \quad r = 1, \dots, T \end{aligned}$$

- Se sustituye μ por los hiperparámetros λ_r
- El hiperparámetro C no interviene en el grado de interdependencia de los modelos

Formulación convexa para SVM MT

2. Formulación convexa para aprendizaje multitarea: máquinas de vectores soporte

Problema dual - SVM MT convexa

$$\begin{aligned} \min_{\alpha} \quad & \frac{1}{2} \alpha^T (\Lambda Q \Lambda + (I_n - \Lambda) K (I_n - \Lambda)) \alpha - p \alpha \\ \text{s.t.} \quad & 0 \leq \alpha_i^r \leq C; \quad i = 1, \dots, m_r, \quad r = 1, \dots, T, \\ & \sum_{i=1}^{m_r} \alpha_i^r y_i^r = 0; \quad r = 1, \dots, T \end{aligned}$$

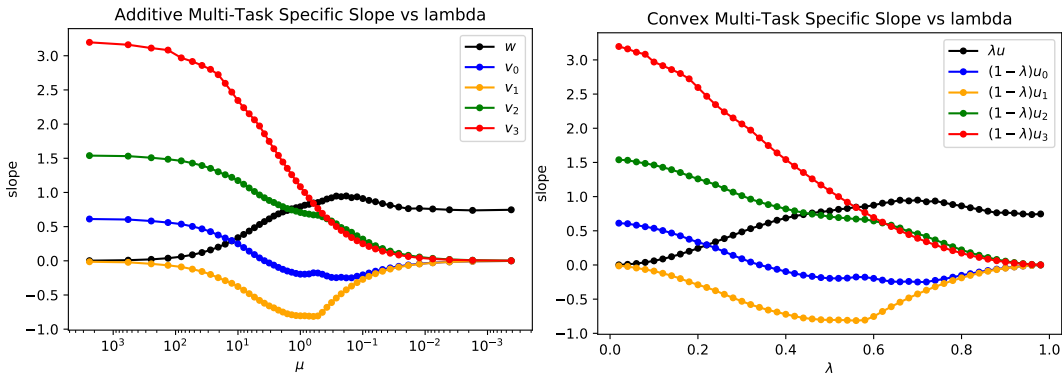
- Usamos la matriz $\Lambda = \text{diag}(\overbrace{\lambda_1, \dots, \lambda_1}^{m_1}, \dots, \overbrace{\lambda_T, \dots, \lambda_T}^{m_T})$
- La matriz Q es común entre todas las tareas usando el kernel k correspondiente a ϕ
- La matriz K es diagonal por bloques, con los kernel k_r correspondientes a ϕ_r
- La función de kernel es:

$$\widehat{k}(x_i^r, x_j^s) = \lambda_r \lambda_s k(x_i^r, x_j^s) + \delta_{rs} (1 - \lambda_r) (1 - \lambda_s) k_r(x_i^r, x_j^s)$$

Equivalencia entre formulaciones aditiva y convexa

2. Formulación convexa para aprendizaje multitarea: máquinas de vectores soporte

- En la tesis mostramos la equivalencia de forma teórica y la relación entre λ y μ



Alternativa: combinación de modelos preentrenados

2. Formulación convexa para aprendizaje multitarea: máquinas de vectores soporte

- Como comprobación, consideramos⁷ la combinación convexa de modelos preentrenados
 - modelo común $g(\cdot)$ ya entrenado
 - modelos específicos $g_r(\cdot)$ ya entrenados
- Minimizamos el riesgo eligiendo los hiperparámetros $\lambda_1, \dots, \lambda_T$ óptimos

$$\hat{R}_D(\lambda_1, \dots, \lambda_T) = \sum_{r=1}^T \sum_{i=1}^{m_r} \ell(\lambda_r g(x_i^r) + (1 - \lambda_r) g_r(x_i^r), y_i^r),$$

- Consideramos las pérdidas:
 - Cuadrática y Absoluta (regresión)
 - Hinge y Hinge Cuadrática (clasificación)

⁷Carlos Ruiz, Carlos M. Alaíz y José R. Dorronsoro. "Convex formulation for multi-task L1-, L2-, and LS-SVMs". En: *Neurocomputing* 456 (2021), págs. 599-608.

Experimentos: modelos

2. Formulación convexa para aprendizaje multitarea: máquinas de vectores soporte

- **Common Task Learning SVM (CTL):** Un único modelo SVM que es común para todas las tareas
- **Independent Task Learning SVM (ITL):** Un modelo SVM independiente para cada tarea
- **Direct Convex Combination of SVMs (CMB):** Una combinación convexa de los mejores CTL e ITL preentrenados
- **Convex Multi-Task Learning SVM (MTL):** Un modelo multitarea con la formulación convexa basado en la SVM

Experimentos: problemas

2. Formulación convexa para aprendizaje multitarea: máquinas de vectores soporte

Problema	Tamaño	Dimensión	Nº tareas	Tam. tarea medio	Tam. tarea mín.	Tam. tarea máx.
majorca	15 330	765	14	1095	1095	1095
tenerife	15 330	765	14	1095	1095	1095
california	19 269	9	5	3853	5	8468
boston	506	12	2	253	35	471
abalone	4177	8	3	1392	1307	1527
crime	1195	127	9	132	60	278
binding	32 302	184	47	687	59	3089
landmine	14 820	10	28	511	445	690
adult_(G)	48 842	106	2	24 421	16 192	32 650
adult_(R)	48 842	103	5	9768	406	41 762
adult_(G, R)	48 842	101	10	4884	155	28 735
compas_(G)	3987	11	2	1993	840	3147
compas_(R)	3987	9	4	997	255	1918
compas_(G, R)	3987	7	8	498	50	1525

Experimentos: hiperparametrización

2. Formulación convexa para aprendizaje multitarea: máquinas de vectores soporte

- Hacemos una búsqueda en rejilla con una validación cruzada
- Usamos tres particiones estratificadas por tareas
- Por limitaciones computacionales nos restringimos a la búsqueda de tres hiperparámetros para la búsqueda en rejilla

	Rejilla	CTL-L1,2	ITL-L1,2	MTL-L1,2	CTL-LS	ITL-LS	MTL-LS
C	$\{4^k : -2 \leq k \leq 6\}$	CV	CV	CV	CV	CV	CV
ϵ	$\{\frac{\sigma}{4^k} : 1 \leq k \leq 6\}$	CV	CV	CV	-	-	-
γ_c	$\{\frac{4^k}{d} : -2 \leq k \leq 3\}$	CV	-	CTL-L1,2	CV	-	CTL-LS
γ_s^r	$\{\frac{4^k}{d} : -2 \leq k \leq 3\}$	-	CV	ITL-L1,2	-	CV	ITL-LS
λ	$\{0, 1k : 0 \leq k \leq 10\}$	-	-	CV	-	-	CV

Experimentos: resultados de regresión

2. Formulación convexa para aprendizaje multitarea: máquinas de vectores soporte

	maj.	ten.	boston	california	abalone	crime
ITL-L1	5.087	5.743	2.341	36883.582	1.481	0.078
CTL-L1	5.175	5.891	2.192	41754.337	1.482	0.078
CMB-L1	5.047	5.340	2.239	36880.238	1.470	0.077
MTL-L1	5.050	5.535	2.206	36711.383	1.454	0.074
ITL-L2	4.952	5.629	2.356	37374.618	1.498	0.079
CTL-L2	5.193	6.107	2.083	42335.612	1.503	0.080
CMB-L2	4.869	5.963	2.089	37374.618	1.494	0.077
MTL-L2	4.854	5.784	2.089	37202.603	1.482	0.077
ITL-LS	4.937	5.649	2.204	37348.347	1.496	0.079
CTL-LS	5.193	6.005	2.072	42259.492	1.502	0.079
CMB-LS	4.977	5.593	2.081	37339.179	1.486	0.079
MTL-LS	4.824	5.754	2.077	37231.043	1.478	0.076

Experimentos: resultados de clasificación

2. Formulación convexa para aprendizaje multitarea: máquinas de vectores soporte

	comp_(G)	comp_(R)	comp_(G,R)	ad_(G)	ad_(R)	ad_(G,R)	landmine	binding
ITL-L1	0.625	0.639	0.630	0.659	0.653	0.657	0.231	0.867
CTL-L1	0.623	0.638	0.638	0.657	0.650	0.653	0.255	0.901
CMB-L1	0.616	0.638	0.638	0.658	0.650	0.653	0.270	0.901
MTL-L1	0.627	0.636	0.640	0.659	0.655	0.659	0.242	0.907
ITL-L2	0.636	0.623	0.607	0.668	0.666	0.668	0.256	0.867
CTL-L2	0.640	0.647	0.651	0.665	0.661	0.659	0.270	0.903
CMB-L2	0.629	0.640	0.645	0.666	0.662	0.661	0.270	0.903
MTL-L2	0.634	0.651	0.650	0.668	0.666	0.668	0.263	0.909
ITL-LS	0.631	0.622	0.608	0.659	0.659	0.660	0.243	0.867
CTL-LS	0.628	0.644	0.649	0.650	0.653	0.647	0.230	0.853
CMB-LS	0.630	0.635	0.642	0.657	0.658	0.654	0.238	0.873
MTL-LS	0.630	0.641	0.648	0.659	0.659	0.659	0.257	0.906

Experimentos: predicción de energía renovable

2. Formulación convexa para aprendizaje multitarea: máquinas de vectores soporte

- Aplicamos la SVM MT convexa a la predicción de energía renovable
- Para energía solar consideramos las definiciones de tareas:
 - season
 - hour
- Para energía eólica consideramos las definiciones de tareas:
 - velocity
 - angle
 - timeOfDay
- También probamos la combinación de tareas, e.g. (season, hour)

Experimentos: predicción de energía solar

2. Formulación convexa para aprendizaje multitarea: máquinas de vectores soporte

	MWh	MAE		Wil.	MWh ²	MSE		Wil.	λ^*
		%	rank			‰	rank		
majorca									
CTL-L1	5.265	7.265	(6)	(4)	59.322	112.985	(6)	(4)	-
(season)_ITL-L1	5.305	7.384	(7)	(5)	59.591	113.498	(7)	(4)	-
(season)_MTL-L1	4.884	6.740	(1)	(1)	53.222	101.366	(2)	(3)	0.4
(hour)_ITL-L1	5.083	7.015	(4)	(2)	54.540	103.877	(3)	(3)	-
(hour)_MTL-L1	4.957	6.840	(2)	(1)	52.614	100.208	(1)	(1)	0.3
(hour, season)_ITL-L1	5.250	7.251	(5)	(3)	57.927	110.328	(5)	(4)	-
(hour, season)_MTL-L1	5.038	6.952	(3)	(2)	54.601	103.992	(4)	(3)	0.3
tenerife									
CTL-L1	5.786	5.373	(5)	(5)	88.323	76.174	(5)	(5)	-
(season)_ITL-L1	5.930	5.545	(6)	(5)	97.454	84.611	(6)	(6)	-
(season)_MTL-L1	5.579	5.181	(4)	(2)	86.227	74.366	(3)	(3)	0.8
(hour)_ITL-L1	5.403	5.018	(2)	(2)	86.686	74.762	(4)	(4)	-
(hour)_MTL-L1	5.376	4.993	(1)	(1)	84.207	72.624	(1)	(1)	0.7
(hour, season)_ITL-L1	6.025	5.554	(7)	(6)	104.536	90.297	(7)	(7)	-
(hour, season)_MTL-L1	5.494	5.102	(3)	(3)	85.440	73.687	(2)	(2)	0.7

Experimentos: predicción de energía eólica

2. Formulación convexa para aprendizaje multitarea: máquinas de vectores soporte

	MAE			MSE			λ^*
	MWh	rank	Wil.	MWh ²	rank	Wil.	
CTL-L1	6.132	(1)	(1)	90.228	(2)	(2)	-
(velocity)_ITL-L1	6.211	(7)	(3)	93.363	(7)	(3)	-
(velocity)_MTL-L1	6.208	(6)	(3)	93.199	(6)	(3)	0
(timeOfDay)_ITL-L1	6.283	(9)	(4)	93.594	(9)	(4)	-
(timeOfDay)_MTL-L1	6.132	(1)	(1)	90.228	(2)	(2)	1
(timeOfDay, velocity)_ITL-L1	6.341	(11)	(4)	97.250	(11)	(5)	-
(timeOfDay, velocity)_MTL-L1	6.312	(10)	(4)	94.774	(10)	(4)	0.4
(timeOfDay, angle)_ITL-L1	6.266	(8)	(4)	93.517	(8)	(4)	-
(timeOfDay, angle)_MTL-L1	6.132	(1)	(1)	90.228	(2)	(2)	1
(timeOfDay, angle, velocity)_ITL-L1	6.410	(12)	(4)	102.031	(12)	(6)	-
(timeOfDay, angle, velocity)_MTL-L1	6.132	(1)	(1)	90.228	(2)	(2)	1
(angle)_ITL-L1	6.170	(4)	(3)	91.586	(4)	(3)	-
(angle)_MTL-L1	6.135	(2)	(2)	90.026	(1)	(1)	0.9
(angle, velocity)_ITL-L1	6.173	(5)	(3)	92.529	(5)	(3)	-
(angle, velocity)_MTL-L1	6.168	(3)	(3)	90.990	(3)	(3)	0.7

► Introducción

► Formulación convexa para aprendizaje multitarea: máquinas de vectores soporte

► **Formulación convexa para aprendizaje multitarea: redes neuronales**

► Laplaciano adaptativo para aprendizaje multitarea

► Conclusiones y trabajo futuro

Redes neuronales MT

3. Formulación convexa para aprendizaje multitarea: redes neuronales

- Los SVM ofrecen propiedades deseables como

- convexidad
- dualidad
- truco del kernel

pero tienen una limitación computacional

- Las redes neuronales son mejores alternativas para problemas grandes
- Existen arquitecturas neuronales específicas para algunos tipos de datos
 - imágenes
 - texto
 - sonido

Redes neuronales MT: *hard sharing*

3. Formulación convexa para aprendizaje multitarea: redes neuronales

- La manera más común de adaptar las redes neuronales es el *hard sharing*⁸
 - capas compartidas
 - capas específicas
- El modelo simplificado se puede expresar como:

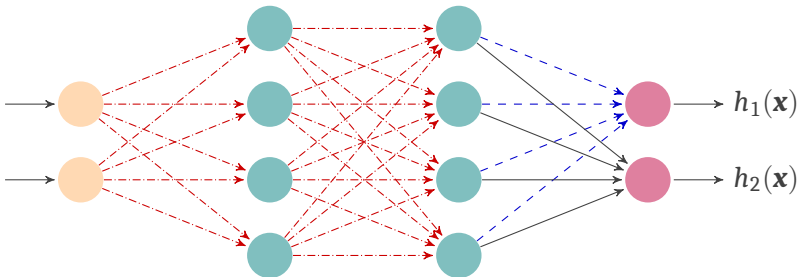
$$h_r(\cdot) = \langle w_r, f(\cdot; \Theta) \rangle + d_r$$

- w_r, d_r son los parámetros de las capas de salida específicas
 - Θ son los parámetros de las capas ocultas compartidas
- Se comparte la misma representación en todas las tareas

⁸Rich Caruana. "Multitask Learning". En: *Mach. Learn.* 28.1 (1997), págs. 41-75.

Ejemplo de *hard sharing* para dos tareas

3. Formulación convexa para aprendizaje multitarea: redes neuronales



Formulación Convexa para redes neuronales MT

3. Formulación convexa para aprendizaje multitarea: redes neuronales

- Proponemos⁹ la formulación convexa para redes neuronales MT
- Los modelos son:

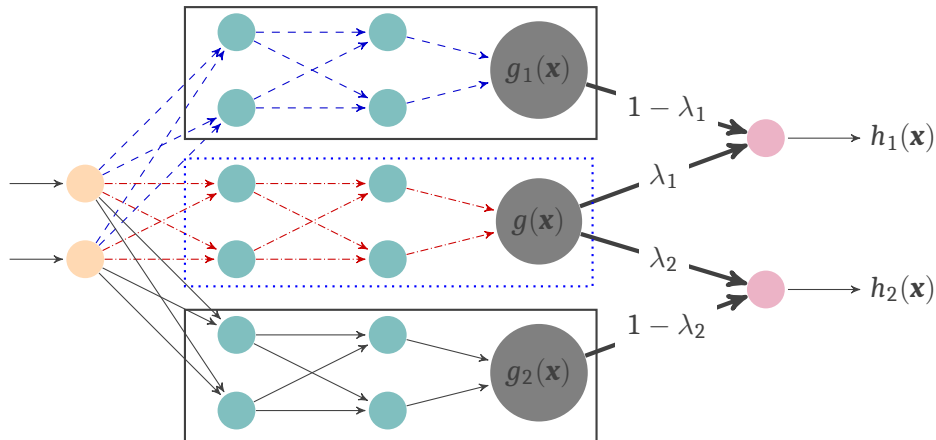
$$h_r(\cdot) = \lambda_r \{ \langle w, f(\cdot; \Theta) \rangle + b \} + (1 - \lambda_r) \{ \langle w_r, f_r(\cdot; \Theta_r) \rangle + d_r \}$$

- w, Θ son los parámetros de la red común
- w_r, Θ_r son los parámetros de las redes específicas
- No se comparte la representación; se combinan una parte común y partes específicas

⁹Carlos Ruiz, Carlos M. Alaíz y José R. Dorronsoro. "Convex Multi-Task Learning with Neural Networks". En: *HAIS Proceedings*. Vol. 13469. Springer, 2022, págs. 223-235.

Ejemplo de formulación convexa para dos tareas

3. Formulación convexa para aprendizaje multitarea: redes neuronales



Experimentos: conjuntos de datos

3. Formulación convexa para aprendizaje multitarea: redes neuronales

Task: standard



Task: 75

Task: standard



Task: 30

Task: images



Task: 30

Task: random



Task: 45

Task: standard



Task: 15

Task: random



Task: 45

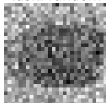


Task: standard

Task: 45



Task: random



Task: 15



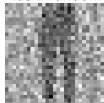
Task: images



Task: 15



Task: random



Task: 45



Task: standard



Task: 0



Task: random



Task: 75



Experimentos: resultados

3. Formulación convexa para aprendizaje multitarea: redes neuronales

	var-MNIST	rot-MNIST	var-FMNIST	rot-FMNIST
accuracy				
ctINN	0.964	0.973	0.784	0.834
itINN	0.968	0.981	0.795	0.873
hsmtnn	0.971	0.980	0.770	0.852
cvxmtINN	0.974 ($\lambda^* = 0.6$)	0.984 ($\lambda^* = 0.8$)	0.812 ($\lambda^* = 0.6$)	0.880 ($\lambda^* = 0.6$)
categorical cross-entropy				
ctINN	1.274 \pm 0.143	1.145 \pm 0.039	2.369 \pm 0.183	1.757 \pm 0.075
itINN	1.072 \pm 0.029	0.873 \pm 0.058	2.356 \pm 0.130	1.598 \pm 0.042
hsmtnn	1.087 \pm 0.253	0.898 \pm 0.073	3.067 \pm 0.888	1.888 \pm 0.075
cvxmtINN	0.924 \pm 0.024 ($\lambda^* = 0.6$)	0.831 \pm 0.029 ($\lambda^* = 0.8$)	2.147 \pm 0.090 ($\lambda^* = 0.6$)	1.482 \pm 0.063 ($\lambda^* = 0.6$)

- Todos los modelos se entrenan con el algoritmo *AdamW*. CV para hiperparámetros:
 - α (weight decay)
 - λ (en el modelo convexo)

- ▶ Introducción
- ▶ Formulación convexa para aprendizaje multitarea: máquinas de vectores soporte
- ▶ Formulación convexa para aprendizaje multitarea: redes neuronales
- ▶ **Laplaciano adaptativo para aprendizaje multitarea**
- ▶ Conclusiones y trabajo futuro

Aprendizaje multitarea con regularización laplaciana

4. Laplaciano adaptativo para aprendizaje multitarea

- La formulación convexa asume que hay una parte común a todas las tareas
- Por otra parte, la definición de tareas puede ser arbitraria
- Una alternativa para el aprendizaje MT es usar una regularización laplaciana
 - comprobar la definición de las tareas
 - medir relaciones entre tareas
 - mejorar modelos

Aprendizaje multitarea con regularización laplaciana

4. Laplaciano adaptativo para aprendizaje multitarea

- Consideramos un grafo donde
 - Los nodos representan tareas
 - Las aristas y sus pesos representan las relaciones entre las tareas
- La matriz de adyacencia A tiene los pesos de las aristas
- La matriz de grados D es una matriz diagonal donde

$$D_{rr} = \sum_{s=1}^T A_{rs}$$

- La matriz Laplaciana se define como $L = D - A$

Aprendizaje multitarea con regularización laplaciana

4. Laplaciano adaptativo para aprendizaje multitarea

- Dados los modelos para cada tarea definidos como

$$h_r(\cdot) = \langle w_r, \cdot \rangle + b_r,$$

añadimos la regularización

$$\sum_{r=1}^T \sum_{s=1}^T A_{rs} \|w_r - w_s\|^2$$

- Esta regularización se puede expresar como

$$\sum_{r=1}^T \sum_{s=1}^T A_{rs} \|w_r - w_s\|^2 = \sum_{r=1}^T \sum_{s=1}^T L_{rs} \langle w_r, w_s \rangle$$

- Proponemos combinar la formulación convexa con la regularización Laplaciana¹⁰

¹⁰Carlos Ruiz, Carlos M. Alaíz y José R. Dorronsoro. "Convex Graph Laplacian Multi-Task Learning SVM". En: *ICANN*. Vol. 12397. Springer, 2020, págs. 142-154.

Formulación convexa para SVM MT con laplaciano

4. Laplaciano adaptativo para aprendizaje multitarea

Problema primal - SVM convexa con laplaciano

$$\begin{aligned} \min_{\mathbf{v}, \mathbf{b}, \boldsymbol{\xi}, \mathbf{w}} \quad & C \sum_{r=1}^T \sum_{i=1}^{m_r} \xi_i^r + \frac{\nu}{2} \sum_{r=1}^T \sum_{s=1}^T L_{rs} \langle \mathbf{v}_r, \mathbf{v}_s \rangle + \frac{1}{2} \sum_r \|\mathbf{v}_r\|^2 + \frac{1}{2} \|\mathbf{w}\|^2 \\ \text{s.t.} \quad & \gamma_i^r (\lambda_r (\langle \mathbf{w}, \phi(\mathbf{x}_i^r) \rangle) + (1 - \lambda_r) (\langle \mathbf{v}_r, \psi(\mathbf{x}_i^r) \rangle) + b_r) \geq p_i^r - \xi_i^r, \\ & \xi_i^r \geq 0, \quad i = 1, \dots, m_r, \quad r = 1, \dots, T \end{aligned}$$

- Los hiperparámetros λ_r regulan la influencia de cada parte:
 - $\lambda_1, \dots, \lambda_T = 0$: modelos independientes (ITL)
 - $\lambda_1, \dots, \lambda_T = 1$: modelo común (CTL)
- La matriz laplaciana L establece relaciones entre las partes específicas \mathbf{v}_r

Formulación convexa para SVM MT con laplaciano

4. Laplaciano adaptativo para aprendizaje multitarea

Problema dual - SVM convexa con laplaciano

$$\begin{aligned} \min_{\alpha} \quad & \Theta(\alpha) = \frac{1}{2} \alpha^t \left(\Lambda Q \Lambda + (I_n - \Lambda) \tilde{Q} (I_n - \Lambda) \right) \alpha - p \alpha \\ \text{s.t.} \quad & 0 \leq \alpha_i^r \leq C, \quad i = 1, \dots, m_r, r = 1, \dots, T, \\ & \sum_{i=1}^{n_r} \alpha_i^r y_i^r = 0, \quad r = 1, \dots, T \end{aligned}$$

- Usamos la matriz $\Lambda = \text{diag}(\overbrace{\lambda_1, \dots, \lambda_1}^{m_1}, \dots, \overbrace{\lambda_T, \dots, \lambda_T}^{m_T})$
- La matriz Q es común entre todas las tareas usando el kernel k_ϕ correspondiente a ϕ
- La matriz \tilde{Q} se define usando el kernel: $\tilde{k}_\psi(x_i^r, x_j^s) = \left((\nu L + I_T)^{-1} \right)_{rs} k_\psi(x_i^r, x_j^s)$
- La función de kernel es: $\hat{k}(x_i^r, x_j^s) = \lambda_r \lambda_s k_\phi(x_i^r, x_j^s) + (1 - \lambda_r)(1 - \lambda_s) \tilde{k}_\psi(x_i^r, x_j^s)$

Algoritmo adaptativo para matriz de adyacencia

4. Laplaciano adaptativo para aprendizaje multitarea

- La selección de la matriz de adyacencia A (y la respectiva L) es determinante
- Proponemos¹¹ un método para la selección automática de A , iterando los pasos
 - Minizamos en w, v_r con A fija
 - Minimizamos en A con los parámetros w, v_r fijos

¹¹Carlos Ruiz, Carlos M. Alaíz y José R. Dorronsoro. “Adaptive Graph Laplacian for Convex Multi-Task Learning SVM”. En: *HAIS Proceedings*. Vol. 12886. Springer, 2021, págs. 219-230, Carlos Ruiz, Carlos M. Alaíz y José R. Dorronsoro. “Adaptive Graph Laplacian MTL L1, L2 and LS-SVMs”. En: *Logic Journal of the IGPL* (in press).

Experimentos: problemas sintéticos

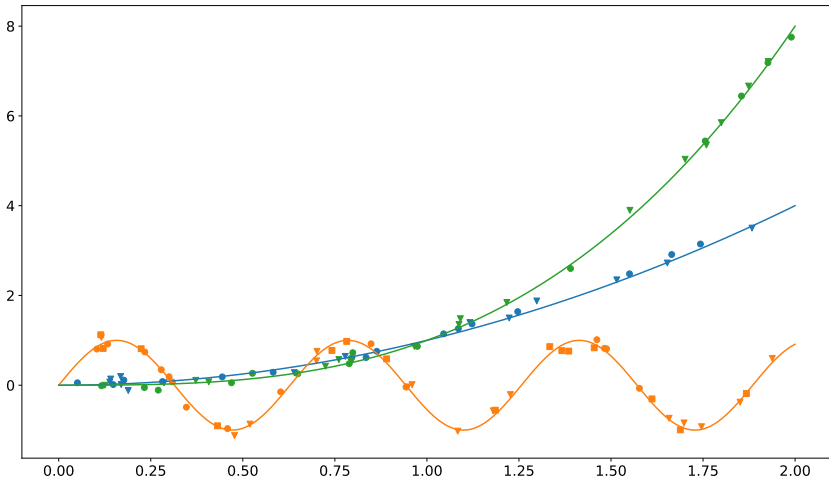
4. Laplaciano adaptativo para aprendizaje multitarea

- Definimos problemas donde las tareas están agrupadas en clusters
 - Definimos τ tareas subyacentes (clusters) usando las funciones $f_r, r = 1, \dots, \tau$
 - En cada una definimos T_r tareas virtuales, $r = 1, \dots, \tau$ (las que ven los modelos)

	τ	f_r	T_r	Total tareas virtuales
regClusters0, clasClusters0	3	$f_1(x) = x^2$	2	7
		$f_2(x) = \sin(10x)$	3	
		$f_3(x) = x^3$	2	
regClusters1, clasClusters1	2	$f_1(x) = x^2$	5	7
		$f_2(x) = \sin(10x)$	2	
regClusters2, clasClusters2	2	$f_1(x) = \sin(10x)$	4	5
		$f_2(x) = x^3$	1	

Experimentos: regClusterso

4. Laplaciano adaptativo para aprendizaje multitarea



Experimentos sintéticos: resultados regresión

4. Laplaciano adaptativo para aprendizaje multitarea

	regClusters0	regClusters1	regClusters2
	MAE		
CTL-L1	0.989	0.512	0.541
ITL-L1	0.221	0.212	0.159
MTL-L1	0.213	0.176	0.135
GLMTL-L1	0.212	0.173	0.138
AdapGLMTL-L1	0.152	0.116	0.107
CTL-L2	0.990	0.642	0.768
ITL-L2	0.213	0.201	0.154
MTL-L2	0.209	0.168	0.131
GLMTL-L2	0.204	0.169	0.131
AdapGLMTL-L2	0.141	0.115	0.103
CTL-LS	0.989	0.642	0.766
ITL-LS	0.212	0.209	0.149
MTL-LS	0.206	0.167	0.131
GLMTL-LS	0.207	0.169	0.132
AdapGLMTL-LS	0.136	0.115	0.106

Experimentos: matrices de adyacencia en regresión

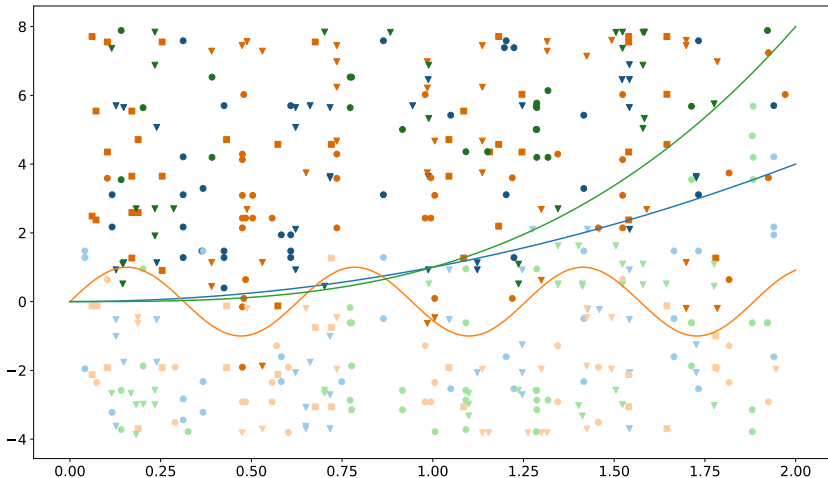
4. Laplaciano adaptativo para aprendizaje multitarea



- Matrices de regClusterso para L1, L2 y LS-SVM MT de laplaciano adaptativo

Experimentos: problemas clasificación (clasClusterso)

4. Laplaciano adaptativo para aprendizaje multitarea



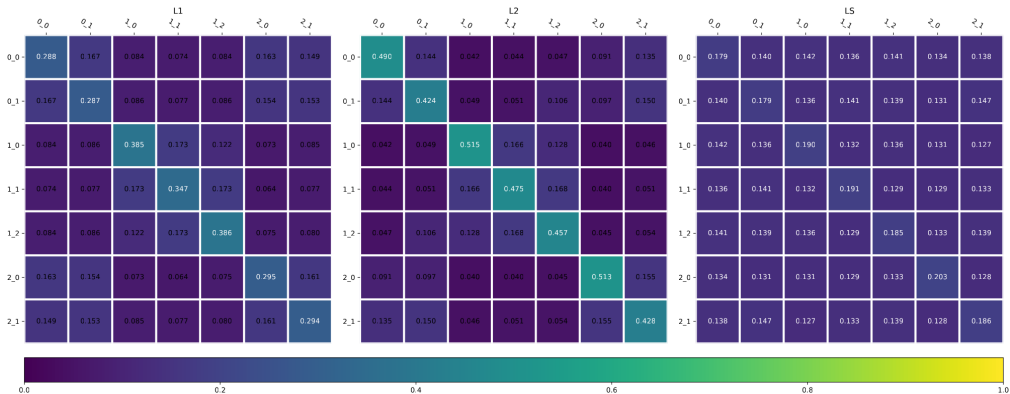
Experimentos: resultados clasificación

4. Laplaciano adaptativo para aprendizaje multitarea

	clasClusters0	clasClusters1	clasClusters2
F1			
CTL-L1	0.901	0.912	0.904
ITL-L1	0.922	0.923	0.910
MTL-L1	0.924	0.925	0.914
GLMTL-L1	0.920	0.926	0.912
AdapGLMTL-L1	0.924	0.929	0.916
CTL-L2	0.904	0.912	0.906
ITL-L2	0.928	0.928	0.910
MTL-L2	0.925	0.927	0.913
GLMTL-L2	0.921	0.923	0.915
AdapGLMTL-L2	0.924	0.929	0.915
CTL-LS	0.895	0.908	0.894
ITL-LS	0.914	0.915	0.904
MTL-LS	0.917	0.917	0.905
GLMTL-LS	0.919	0.921	0.897
AdapGLMTL-LS	0.920	0.921	0.901

Experimentos: matrices de adyacencia en clasificación

4. Laplaciano adaptativo para aprendizaje multitarea



- Matrices de clasClusterso para L1, L2 y LS-SVM MT de laplaciano adaptativo

► Introducción

► Formulación convexa para aprendizaje multitarea: máquinas de vectores soporte

► Formulación convexa para aprendizaje multitarea: redes neuronales

► Laplaciano adaptativo para aprendizaje multitarea

► Conclusiones y trabajo futuro

Conclusiones

5. Conclusiones y trabajo futuro

- El Aprendizaje multitarea ofrece una serie de ventajas
- Es necesario desarrollar técnicas para crear un acoplamiento de los modelos
- Proponemos una formulación convexa para aprendizaje multitarea
 - SVM
 - Redes Neuronales
- Añadimos una regularización laplaciana para SVM
- Proponemos un método adaptativo para SVM con regularización laplaciana para aprender la relación entre tareas

Conclusiones: formulación convexa

5. Conclusiones y trabajo futuro

- Formulación convexa con SVM:
 - Definimos SVM multitarea convexa
 - Analizamos la alternativa de combinación convexa de modelos preentrenados
 - Mostramos buenos resultados de las SVM MT convexas con varios problemas
 - Aplicamos estos modelos a predicción de energía solar y eólica
- Formulación convexa con redes neuronales:
 - Aplicamos esta formulación convexa también a redes neuronales
 - Mostramos mejores resultados que *hard sharing* en cuatro conjuntos de imágenes

Conclusiones: matriz de adyacencia adaptativa

5. Conclusiones y trabajo futuro

- La formulación convexa asume que todas las tareas comparten una parte común
- Las tareas a veces están repetidas o no todas comparten la misma relación entre ellas
- Con la regularización laplaciana se pueden modelar distintas relaciones entre tareas definiendo una matriz de adyacencia adecuada
- Regularización laplaciana de grafo:
 - Definimos la SVM multitarea convexa con regularización laplaciana
 - Proponemos un algoritmo adaptativo para aprender la matriz de adyacencia
 - Obtenemos buenos resultados en problemas sintéticos y reales

Trabajo futuro

5. Conclusiones y trabajo futuro

- Investigar métodos para la selección de hiperparámetros en los modelos MT
- Tratar los λ_r como parámetros de los modelos neuronales
- Aplicar la regularización laplaciana a modelos neuronales

Advanced Kernel Methods for Multi-Task Learning

Gracias por su atención.

Índice

5. Conclusiones y trabajo futuro

- ▶ Introducción
- ▶ Formulación convexa para aprendizaje multitarea: máquinas de vectores soporte
- ▶ Formulación convexa para aprendizaje multitarea: redes neuronales
- ▶ Laplaciano adaptativo para aprendizaje multitarea
- ▶ Conclusiones y trabajo futuro

Referencias

6. Conclusiones y trabajo futuro

- [1] Feng Cai y Vladimir Cherkassky. “SVM+ regression and multi-task learning”. En: *International Joint Conference on Neural Networks*. 2009, págs. 418-424.
- [2] Rich Caruana. “Multitask Learning”. En: *Mach. Learn.* 28.1 (1997), págs. 41-75.
- [3] Theodoros Evgeniou, Charles A. Micchelli y Massimiliano Pontil. “Learning Multiple Tasks with Kernel Methods”. En: *J. Mach. Learn. Res.* 6 (2005), págs. 615-637.
- [4] Theodoros Evgeniou y Massimiliano Pontil. “Regularized multi-task learning”. En: *Proceedings of the Tenth ACM SIGKDD International Conference on Knowledge Discovery and Data Mining*. ACM, 2004, págs. 109-117.
- [5] Carlos Ruiz, Carlos M. Alaíz y José R. Dorronsoro. “A Convex Formulation of SVM-Based Multi-task Learning”. En: *HAIS Proceedings*. Vol. 11734. Springer, 2019, págs. 404-415.

Referencias

6. Conclusiones y trabajo futuro

- [6] Carlos Ruiz, Carlos M. Alaíz y José R. Dorronsoro. “Adaptive Graph Laplacian for Convex Multi-Task Learning SVM”. En: *HAIS Proceedings*. Vol. 12886. Springer, 2021, págs. 219-230.
- [7] Carlos Ruiz, Carlos M. Alaíz y José R. Dorronsoro. “Adaptive Graph Laplacian MTL L1, L2 and LS-SVMs”. En: *Logic Journal of the IGPL* (in press).
- [8] Carlos Ruiz, Carlos M. Alaíz y José R. Dorronsoro. “Convex formulation for multi-task L1-, L2-, and LS-SVMs”. En: *Neurocomputing* 456 (2021), págs. 599-608.
- [9] Carlos Ruiz, Carlos M. Alaíz y José R. Dorronsoro. “Convex Graph Laplacian Multi-Task Learning SVM”. En: *ICANN*. Vol. 12397. Springer, 2020, págs. 142-154.
- [10] Carlos Ruiz, Carlos M. Alaíz y José R. Dorronsoro. “Convex Multi-Task Learning with Neural Networks”. En: *HAIS Proceedings*. Vol. 13469. Springer, 2022, págs. 223-235.

► Apéndice A: Combinación Convexa de Modelos Preentrenados

► Apéndice B: Aprendizaje MT Convexo con Redes Neuronales

► Apéndice C: Laplaciano de Grafo con Métodos de Kernel

► Apéndice D: Algoritmo Adaptativo para Laplaciano de Grafo

► Apéndice E: Extensiones a L2 y LS-SVM

Formulación Unificada Clasificación

7. Apéndice A: Combinación Convexa de Modelos Preentrenados

- Hinge loss (classification):

$$\hat{R}_D(\lambda_1, \dots, \lambda_T) = \sum_{r=1}^T \sum_{i=1}^{m_r} [1 - y_i^r \{ \lambda_r g(x_i^r) + (1 - \lambda_r) g_r(x_i^r) \}]_+ .$$

- Squared hinge loss (classification):

$$\hat{R}_D(\lambda_1, \dots, \lambda_T) = \sum_{r=1}^T \sum_{i=1}^{m_r} [1 - y_i^r \{ \lambda_r g(x_i^r) + (1 - \lambda_r) g_r(x_i^r) \}]_+^2 .$$

- Ambas se pueden expresar como:

$$\sum_{r=1}^T \sum_{i=1}^{m_r} u(\lambda_r c_i^r + d_i^r), \text{ donde } c_i^r = y_i^r (g_r(x_i^r) - g(x_i^r)), \text{ } d_i^r = 1 - y_i^r g_r(x_i^r)$$

Formulación Unificada Regresión

7. Apéndice A: Combinación Convexa de Modelos Preentrenados

- Absolute loss (regression):

$$\hat{R}_D(\lambda_1, \dots, \lambda_T) = \sum_{r=1}^T \sum_{i=1}^{m_r} |\gamma_i^r - \{\lambda_r g(x_i^r) + (1 - \lambda_r) g_r(x_i^r)\}|.$$

- Squared loss (regression):

$$\hat{R}_D(\lambda_1, \dots, \lambda_T) = \sum_{r=1}^T \sum_{i=1}^{m_r} (\gamma_i^r - \{\lambda_r g(x_i^r) + (1 - \lambda_r) g_r(x_i^r)\})^2.$$

- Ambas se pueden expresar como:

$$\sum_{r=1}^T \sum_{i=1}^{m_r} u(\lambda_r c_i^r + d_i^r), \text{ donde } c_i^r = g(x_i^r) - g_r(x_i^r), \ d_i^r = g_r(x_i^r) - \gamma_i^r$$

Formulación Unificada

7. Apéndice A: Combinación Convexa de Modelos Preentrenados

- En todos los casos el riesgo lo podemos expresar como

$$\hat{R}_D(\lambda_1, \dots, \lambda_T) = \sum_{r=1}^T \sum_{i=1}^{m_r} u(\lambda_r c_i^r + d_i^r)$$

- Como $\hat{R}_D(\lambda_1, \dots, \lambda_T)$ es separable, tenemos en cada tarea el problema

$$\arg \min_{\lambda_r \in [0,1]} \mathcal{J}(\lambda_r) = \sum_{i=1}^{m_r} u(\lambda_r c_i^r + d_i^r)$$

- Usando el Teorema de Fermat

$$\lambda^* = \arg \min_{0 \leq \lambda \leq 1} \mathcal{J}(\lambda) \iff (0 \in \partial \mathcal{J}(\lambda^*) \text{ y } \lambda^* \in (0, 1)) \text{ o } \lambda^* = 0 \text{ o } \lambda^* = 1$$

Combinación Convexa con Error Cuadrático

7. Apéndice A: Combinación Convexa de Modelos Preentrenados

- La función a minimizar es

$$\arg \min_{\lambda \in [0,1]} \mathcal{J}(\lambda) = \sum_{i=1}^m (\lambda c_i + d_i)^2$$

- La derivada es

$$\mathcal{J}'(\lambda) = \sum_{i=1}^m 2c_i(\lambda c_i + d_i)$$

- Como es derivable, resolviendo $\mathcal{J}'(\lambda) = 0$ obtenemos

$$\lambda' = -\frac{\sum_{i=1}^m d_i c_i}{\sum_{i=1}^m (c_i)^2}$$

- La solución es entonces $\lambda^* = \max(\min(\lambda', 1), 0)$

Combinación Convexa con Error Absoluto

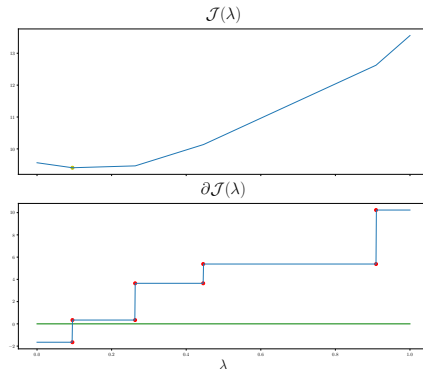
7. Apéndice A: Combinación Convexa de Modelos Preentrenados

- Hay que resolver

$$\arg \min_{\lambda \in [0,1]} \mathcal{J}(\lambda) = \sum_{i=1}^m |\lambda c_i + d_i|$$

- El subgradiente de cada sumando es

$$\partial |\lambda c_i + d_i| = \begin{cases} -|c_i|, & \lambda c_i + d_i < 0, \\ [-|c_i|, |c_i|], & \lambda c_i + d_i = 0, \\ |c_i|, & \lambda c_i + d_i > 0 \end{cases}$$



Combinación Convexa con Error Absoluto

7. Apéndice A: Combinación Convexa de Modelos Preentrenados

Proposición (λ^* óptimo para el problema con valor absoluto)

- $\lambda^* = 0$ es óptimo si y solo si: $-\sum_{i: 0 > \lambda_{(i)}} |c_{(i)}| + \sum_{i: 0 < \lambda_{(i)}} |c_{(i)}| \leq 0$
- $\lambda^* \in (0, 1)$ es óptimo si y solo si $0 < \lambda^* = \lambda_{(k)} < 1$ para algún $k = 1, \dots, m$, y

$$-\sum_{i: \lambda_{(k)} > \lambda_{(i)}} |c_{(i)}| + \sum_{i: \lambda_{(k)} < \lambda_{(i)}} |c_{(i)}| \in [-|c_{(k)}|, |c_{(k)}|]$$

- $\lambda^* = 1$ es óptimo en otro caso

Combinación Convexa: Tabla

7. Apéndice A: Combinación Convexa de Modelos Preentrenados

$\lambda^* \in (0, 1)$	
Cuadrática	$0 < -\frac{\sum_{i=1}^m d_i c_i}{\sum_{i=1}^m (c_i)^2} < 1$
Absoluta	$-\sum_{i: \lambda_{(k)} > \lambda_{(i)}} c_{(i)} + \sum_{i: \lambda_{(k)} < \lambda_{(i)}} c_{(i)} \in [- c_{(k)} , c_{(k)}]$
Hinge	$-\sum_{i: \lambda_{(k)} > \lambda_{(i)}} \max(0, c_{(i)}) - \sum_{i: \lambda_{(k)} < \lambda_{(i)}} \min(0, c_{(i)}) \in [\min(0, c_{(k)}), \max(0, c_{(k)})]$
Hinge Cuad.	$-\frac{\sum_{i: \lambda_{(k+1)} \geq \lambda_{(i)}} \max(0, c_{(i)}) d_{(i)} + \sum_{i: \lambda_{(k)} \leq \lambda_{(i)}} \min(0, c_{(i)}) d_{(i)}}{\sum_{i: \lambda_{(k+1)} \geq \lambda_{(i)}} \max(0, c_{(i)})^2 + \sum_{i: \lambda_{(k)} \leq \lambda_{(i)}} \min(0, c_{(i)})^2} \in [\lambda_{(k)}, \lambda_{(k+1)}]$
$\lambda^* = 0$	
Cuadrática	$-\frac{\sum_{i=1}^m d_i c_i}{\sum_{i=1}^m (c_i)^2} \leq 0$
Absoluta	$-\sum_{i: 0 > \lambda_{(i)}} c_{(i)} + \sum_{i: 0 < \lambda_{(i)}} c_{(i)} \leq 0$
Hinge	$-\sum_{i: 0 > \lambda_{(i)}} \max(0, c_{(i)}) - \sum_{i: 0 < \lambda_{(i)}} \min(0, c_{(i)}) \leq 0$
Hinge Cuad.	$-\sum_{i: 0 > c_{(i)}, 0 < \lambda_{(i)}} 2c_i d_i - \sum_{i: 0 < c_{(i)}, 0 > \lambda_{(i)}} 2c_i d_i \leq 0$
$\lambda^* = 1$ en otro caso	

► Apéndice A: Combinación Convexa de Modelos Preentrenados

► **Apéndice B: Aprendizaje MT Convexo con Redes Neuronales**

► Apéndice C: Laplaciano de Grafo con Métodos de Kernel

► Apéndice D: Algoritmo Adaptativo para Laplaciano de Grafo

► Apéndice E: Extensiones a L2 y LS-SVM

Formulación Convexa para Redes Neuronales MT

8. Apéndice B: Aprendizaje MT Convexo con Redes Neuronales

- Proponemos¹² la formulación convexa para redes neuronales MT, combinando:
 - Una parte común $g(\cdot; w, b, \Theta)$
 - Una parte específica $g_r(\cdot; w_r, d_r, \Theta_r)$

- Los modelos son:

$$\begin{aligned} h_r(\cdot) &= \lambda_r g(\cdot; w, b, \Theta) + (1 - \lambda_r) g_r(\cdot; w_r, d_r, \Theta_r) \\ &= \lambda_r \{ \langle w, f(\cdot; \Theta) \rangle + b \} + (1 - \lambda_r) \{ \langle w_r, f_r(\cdot; \Theta_r) \rangle + d_r \} \end{aligned}$$

- w, Θ son los parámetros de la red común
 - w_r, Θ_r son los parámetros de las redes específicas
- No se comparte la representación, se combinan una parte común y partes específicas

¹²Carlos Ruiz, Carlos M. Alaíz y José R. Dorronsoro. "Convex Multi-Task Learning with Neural Networks". En: *HAIS Proceedings*. Vol. 13469. Springer, 2022, págs. 223-235.

Formulación Convexa para Redes Neuronales MT

8. Apéndice B: Aprendizaje MT Convexo con Redes Neuronales

- El riesgo a minimizar en este caso es

$$\hat{R}_D = \sum_{r=1}^T \sum_{i=1}^{m_r} \ell(h_r(x_i^r), y_i^r) + \frac{\mu}{2} \left(\|w\|^2 + \sum_{r=1}^T \|w_r\|^2 + \Omega(\Theta) + \Omega(\Theta_r) \right)$$

- Se puede aplicar el descenso por gradiente con

$$\begin{aligned} \nabla_w h_t(x_i^t) &= \lambda_t f(x_i^t, \Theta), & \nabla_{\Theta} h_t(x_i^t) &= \lambda_t \langle w, \nabla_{\Theta} f(x_i^t, \Theta) \rangle; \\ \nabla_{w_t} h_t(x_i^t) &= (1 - \lambda_t) f_t(x_i^t, \Theta), & \nabla_{\Theta_t} h_t(x_i^t) &= (1 - \lambda_t) \langle w, \nabla_{\Theta_t} f_t(x_i^t, \Theta_t) \rangle; \\ \nabla_{w_r} h_t(x_i^t) &= 0, & \nabla_{\Theta_r} h_t(x_i^t) &= 0, \text{ for } r \neq t \end{aligned}$$

- Los gradientes se escalan adecuadamente con λ_t y $(1 - \lambda_t)$

Experimentos: Modelos

8. Apéndice B: Aprendizaje MT Convexo con Redes Neuronales

- Comparamos cuatro modelos:
 - `ctlNN_conv`
 - `itlNN_conv`
 - `cvxmtlNN_conv`
 - `hsmtlNN_conv`
- Todos están basados en una red convolucional de Pytorch con
 - Conv. Layer (10 output channels)
 - Conv. Layer (20 output channels)
 - Dropout ($p = 0,5$) and Max. Pooling
 - Fully Connected Layer (320 neurons)
 - Fully Connected Layer (50 neurons)

► Apéndice A: Combinación Convexa de Modelos Preentrenados

► Apéndice B: Aprendizaje MT Convexo con Redes Neuronales

► **Apéndice C: Laplaciano de Grafo con Métodos de Kernel**

► Apéndice D: Algoritmo Adaptativo para Laplaciano de Grafo

► Apéndice E: Extensiones a L2 y LS-SVM

Aprendizaje Multitarea con Regularización Laplaciana

9. Apéndice C: Laplaciano de Grafo con Métodos de Kernel

- Dados los modelos para cada tarea definidos como

$$h_r(\cdot) = \langle w_r, \cdot \rangle + b_r,$$

definimos la regularización

$$\sum_{r=1}^T \sum_{s=1}^T (A)_{rs} \|w_r - w_s\|^2$$

- Esta regularización se puede expresar como

$$\sum_{r=1}^T \sum_{s=1}^T (A)_{rs} \|w_r - w_s\|^2 = \sum_{r=1}^T \sum_{s=1}^T (L)_{rs} \langle w_r, w_s \rangle$$

- Proponemos combinar la formulación convexa con la regularización Laplaciana¹³

¹³Carlos Ruiz, Carlos M. Alaíz y José R. Dorronsoro. "Convex Graph Laplacian Multi-Task Learning SVM". En: *ICANN*. Vol. 12397. Springer, 2020, págs. 142-154.

Laplaciano de Grafo con Métodos de Kernel

9. Apéndice C: Laplaciano de Grafo con Métodos de Kernel

- Inspirados por trabajos previos¹⁴ proponemos lo siguiente:
 - Consideramos el problema de minimización (con E una matriz def. pos.)

$$R(u_1, \dots, u_T) = \sum_{r=1}^T \sum_{i=1}^{m_r} \ell(y_i^r, \langle u_r, \phi(x_i^r) \rangle) + \mu \sum_r \sum_s (E)_{rs} \langle u_r, u_s \rangle \quad (1)$$

- Si usamos el vector $\mathbf{u}^\top = (u_1^\top, \dots, u_T^\top)$ lo expresamos como

$$R(\mathbf{u}) = \sum_{r=1}^T \sum_{i=1}^{m_r} \ell(y_i^r, \langle \mathbf{u}, \mathbf{e}_r \otimes \phi(x_i^r) \rangle) + \mu (\mathbf{u}^\top (E \otimes I) \mathbf{u}) \quad (2)$$

donde \otimes indica el producto tensorial y $\mathbf{e}_1, \dots, \mathbf{e}_T$ es la base canónica de \mathbb{R}^T

¹⁴Theodoros Evgeniou, Charles A. Micchelli y Massimiliano Pontil. "Learning Multiple Tasks with Kernel Methods". En: *J. Mach. Learn. Res.* 6 (2005), págs. 615-637.

Laplaciano de Grafo con Métodos de Kernel

9. Apéndice C: Laplaciano de Grafo con Métodos de Kernel

Lema

Las soluciones u_1^*, \dots, u_T^* de (1), o equivalentemente la solución \mathbf{u}^* de (2), se pueden obtener minimizando

$$S(\mathbf{w}) = \sum_{r=1}^T \sum_{i=1}^{m_r} \ell(y_i^r, \langle \mathbf{w}, (B_r \otimes \phi(\mathbf{x}_i^r)) \rangle) + \mu \mathbf{w}^\top \mathbf{w},$$

donde $\mathbf{w} \in \mathbb{R}^p \otimes \mathcal{H}$ con $p \geq T$ y B_r son las columnas de $B \in \mathbb{R}^{p \times T}$, una matriz de rango máximo tal que $E^{-1} = B^\top B$.

El kernel reproductor correspondiente es:

$$\langle B_r \otimes \phi(\mathbf{x}_i^r), B_s \otimes \phi(\mathbf{x}_j^s) \rangle = (E^{-1})_{rs} k(\mathbf{x}_i^r, \mathbf{x}_j^s)$$

► Apéndice A: Combinación Convexa de Modelos Preentrenados

► Apéndice B: Aprendizaje MT Convexo con Redes Neuronales

► Apéndice C: Laplaciano de Grafo con Métodos de Kernel

► **Apéndice D: Algoritmo Adaptativo para Laplaciano de Grafo**

► Apéndice E: Extensiones a L2 y LS-SVM

Algoritmo Adaptativo para Laplaciano de Grafo

10. Apéndice D: Algoritmo Adaptativo para Laplaciano de Grafo

- La selección de la matriz de adyacencia A (y la respectiva L) es determinante
- Proponemos¹⁵ un método para la selección automática de A
- Tiene que tener las siguientes restricciones:
 - A es simétrica
 - $(A)_{rs} \geq 0, r, s = 1, \dots, T.$
 - $\sum_{s=1}^T (A)_{rs} = 1$
- La entropía de cada fila \mathbf{a}^r es: $H(\mathbf{a}^r) = \sum_{s=1}^T (A)_{rs} \log((A)_{rs})$
- Interpretación:
 - $\sum_{r=1}^T H(\mathbf{a}^r)$ es máxima si A es constante, $A = \frac{1}{T} \mathbf{1}_T \mathbf{1}_T^T$
 - $\sum_{r=1}^T H(\mathbf{a}^r)$ es mínima si A es la identidad, $A = I_T$

¹⁵Carlos Ruiz, Carlos M. Alaíz y José R. Dorronsoro. "Adaptive Graph Laplacian for Convex Multi-Task Learning SVM". En: *HAIS Proceedings*. Vol. 12886. Springer, 2021, págs. 219-230.

Algoritmo Adaptativo para Laplaciano de Grafo

10. Apéndice D: Algoritmo Adaptativo para Laplaciano de Grafo

Problema para Algoritmo Adaptativo

$$\begin{aligned}
 \min_{\substack{\mathbf{w}, \mathbf{v}, \mathbf{b}; \\ \mathbf{A} \in (\mathbb{R}_{\geq 0})^{T \times T}, \\ \mathbf{A} \mathbf{1}_T = \mathbf{1}_T}} & \quad C \sum_{r=1}^T \sum_{i=1}^{m_r} \ell(\lambda_r \langle \mathbf{w}, \phi(\mathbf{x}_i^r) \rangle + (1 - \lambda_r) \langle \mathbf{v}_r, \psi(\mathbf{x}_i^r) \rangle + b_r, y_i^r) \\
 & + \frac{\nu}{2} \sum_{r=1}^T \sum_{s=1}^T (A)_{rs} \|\mathbf{v}_r - \mathbf{v}_s\|^2 + \frac{1}{2} \sum_{r=1}^T \|\mathbf{v}_r\|^2 + \frac{1}{2} \|\mathbf{w}\|^2 \\
 & - \mu \sum_{r=1}^T H(\mathbf{a}^r)
 \end{aligned}$$

Algoritmo Adaptativo para Laplaciano de Grafo

10. Apéndice D: Algoritmo Adaptativo para Laplaciano de Grafo

- Para minimizar este problema alternamos los siguientes pasos:
 - Fijamos A y minimizamos en w, v, b :

$$\begin{aligned} \min_{w, v, b} \quad & C \sum_{r=1}^T \sum_{i=1}^{m_r} \ell(\lambda_r \langle w, \phi(x_i^r) \rangle + (1 - \lambda_r) \langle v_r, \psi(x_i^r) \rangle + b_r, y_i^r) \\ & + \frac{\nu}{2} \sum_{r=1}^T \sum_{s=1}^T (A)_{rs} \|v_r - v_s\|^2 + \frac{1}{2} \sum_{r=1}^T \|v_r\|^2 + \frac{1}{2} \|w\|^2 \end{aligned}$$

- Fjamos w, v, b y minimizamos en A :

$$\min_{\substack{A \in (\mathbb{R}_{\geq 0})^{T \times T}, \\ A \mathbf{1}_T = \mathbf{1}_T}} J(A) = \frac{\nu}{2} \sum_{r=1}^T \sum_{s=1}^T (A)_{rs} \|v_r - v_s\|^2 - \mu \sum_{r=1}^T H(\mathbf{a}^r)$$

Algoritmo Adaptativo para Laplaciano de Grafo

10. Apéndice D: Algoritmo Adaptativo para Laplaciano de Grafo

- Si sabemos las distancias $\|v_r - v_s\|^2$, la solución es

$$(A)_{rs} = \frac{\exp -\frac{\nu}{\mu} \|v_r - v_s\|^2}{\sum_t \exp -\frac{\nu}{\mu} \|v_r - v_t\|^2}$$

- ¿Cómo calculamos estas distancias?
 - Con la matriz \widetilde{Q}^{rs} correspondiente a la función

$$\widetilde{k}^{rs}(x_i^t, x_j^t) = (I_T + \nu L)_{rt}^{-1} (I_T + \nu L)_{st}^{-1} k_\psi(x_i^t, x_j^t)$$

- Los productos interiores son

$$\langle v_r, v_s \rangle = \alpha^\top (I_n - \Lambda) \widetilde{Q}^{rs} (I_n - \Lambda) \alpha$$

- Las distancias son entonces

$$\|v_r - v_s\|^2 = \alpha^\top (I_n - \Lambda) (\widetilde{Q}^{rr} + \widetilde{Q}^{ss} - 2\widetilde{Q}^{rs}) (I_n - \Lambda) \alpha$$

Algoritmo 1: Algoritmo para laplaciano adaptativo.

```

Input:  $(X, \gamma) = \{(x_i^r, \gamma_i^r), i = 1, \dots, m_r; r = 1, \dots, T\}$  // Data
 $A = A_0$  // Constant matrix
while True do
     $L_{\text{inv}} \leftarrow \text{getInvLaplacian}(A)$  // Step 0
     $\alpha_{\text{opt}} \leftarrow \text{solveDualProblem}((X, \gamma), L_{\text{inv}}, \text{params})$  // Step 1
     $o \leftarrow \text{computeObjectiveValue}((X, \gamma), L_{\text{inv}}, \alpha_{\text{opt}})$  // Objective function value
    if  $o^{\text{old}} - o \leq \delta_{\text{tol}}$  then
        | break // Exit condition
    end
     $D \leftarrow \text{computeDistances}((X, \gamma), L_{\text{inv}}, \alpha_{\text{opt}})$  // Step 2
     $A \leftarrow \text{updateAdjMatrix}(D, \text{params})$  // Step 3
end
return  $\alpha_{\text{opt}}, A$ 

```

- ▶ Apéndice A: Combinación Convexa de Modelos Preentrenados
- ▶ Apéndice B: Aprendizaje MT Convexo con Redes Neuronales
- ▶ Apéndice C: Laplaciano de Grafo con Métodos de Kernel
- ▶ Apéndice D: Algoritmo Adaptativo para Laplaciano de Grafo
- ▶ Apéndice E: Extensiones a L2 y LS-SVM

L2-SVM

11. Apéndice E: Extensiones a L2 y LS-SVM

Problema Primal - L2-SVM

$$\begin{aligned} \min_{w, b, \xi} \quad & \frac{C}{2} \sum_{i=1}^m (\xi_i)^2 + \frac{1}{2} \|w\|^2 \\ \text{s.t.} \quad & y_i (\langle w, \phi(x_i) \rangle + b) \geq p_i - \xi_i \end{aligned}$$

Problema Dual - L2-SVM

$$\begin{aligned} \min_{\alpha} \quad & \frac{1}{2} \alpha^\top \left(Q + \frac{1}{C} I_n \right) \alpha - \alpha^\top p \\ \text{s.t.} \quad & \sum_{i=1}^n y_i \alpha_i = 0, \quad \alpha_i \geq 0 \end{aligned}$$

LS-SVM

11. Apéndice E: Extensiones a L2 y LS-SVM

Problema Primal - LS-SVM

$$\begin{aligned} \min_{w, b, \xi} \quad & \frac{C}{2} \sum_{i=1}^n (\xi_i)^2 + \frac{1}{2} \|w\|^2 \\ \text{s.t.} \quad & y_i (\langle w, x_i \rangle + b) = p_i - \xi_i \end{aligned}$$

Problema Dual - LS-SVM

$$\left[\begin{array}{c|c} 0 & \mathbf{y}^\top \\ \hline \mathbf{y} & Q + \frac{1}{C} I_n \end{array} \right] \begin{bmatrix} b \\ \alpha \end{bmatrix} = \begin{bmatrix} 0 \\ \mathbf{p} \end{bmatrix}$$

Formulación Convexa para L2-SVM MT

11. Apéndice E: Extensiones a L2 y LS-SVM

Problema Primal - L2-SVM MT Convexa

$$\begin{aligned} \arg \min_{\mathbf{w}, \mathbf{v}, \mathbf{b}, \mathbf{d}, \xi} \quad & \frac{C}{2} \sum_{r=1}^T \sum_{i=1}^{m_r} (\xi_i^r)^2 + \frac{1}{2} \sum_{r=1}^T \|\mathbf{v}_r\|^2 + \frac{1}{2} \|\mathbf{w}\|^2 \\ \text{s.t.} \quad & \gamma_i^r (\lambda_r \{ \langle \mathbf{w}, \phi(\mathbf{x}_i^r) \rangle + \mathbf{b} \} + (1 - \lambda_r) \{ \langle \mathbf{v}_r, \phi_r(\mathbf{x}_i^r) \rangle + \mathbf{d}_r \}) \geq p_i^r - \xi_i^r \end{aligned}$$

Problema Dual - L2-SVM MT Convexa

$$\begin{aligned} \min_{\alpha} \quad & \frac{1}{2} \alpha^\top \left(\{ \Lambda Q \Lambda + (I_n - \Lambda) K (I_n - \Lambda) \} + \frac{1}{C} I \right) \alpha - \mathbf{p} \alpha \\ \text{s.t.} \quad & 0 \leq \alpha_i^r, \quad i = 1, \dots, m_r, \quad r = 1, \dots, T, \\ & \sum_{i=1}^{m_r} \alpha_i^r \gamma_i^r = 0, \quad r = 1, \dots, T \end{aligned}$$

Formulación Convexa para LS-SVM MT

11. Apéndice E: Extensiones a L2 y LS-SVM

Problema Primal - LS-SVM MT Convexa

$$\begin{aligned} \arg \min_{\mathbf{w}, \mathbf{v}, \mathbf{b}, \mathbf{d}, \xi} \quad & \frac{C}{2} \sum_{r=1}^T \sum_{i=1}^{m_r} (\xi_i^r)^2 + \frac{1}{2} \sum_{r=1}^T \|\mathbf{v}_r\|^2 + \frac{1}{2} \|\mathbf{w}\|^2 \\ \text{s.t.} \quad & \gamma_i^r (\lambda_r \{ \langle \mathbf{w}, \phi(\mathbf{x}_i^r) \rangle + \mathbf{b} \} + (1 - \lambda_r) \{ \langle \mathbf{v}_r, \phi_r(\mathbf{x}_i^r) \rangle + \mathbf{d}_r \}) = p_i^r - \xi_i^r \end{aligned}$$

Problema Dual - LS-SVM MT Convexa

$$\left[\begin{array}{c|c|c} 0 & \mathbf{0}_T^\top & \mathbf{y}^\top \Lambda \\ \hline \mathbf{0}_T & \mathbf{0}_{T \times T} & \mathbf{A}^\top \mathbf{Y} (\mathbf{I}_n - \Lambda) \\ \hline \mathbf{y} & \mathbf{Y} \mathbf{A} & \{ \Lambda \mathbf{Q} \Lambda + (\mathbf{I}_n - \Lambda) \mathbf{K} (\mathbf{I}_n - \Lambda) \} + \frac{1}{C} \mathbf{I} \end{array} \right] \begin{pmatrix} b \\ d_1 \\ \vdots \\ d_T \\ \alpha \end{pmatrix} = \begin{pmatrix} 0 \\ \mathbf{0}_T \\ \mathbf{p} \end{pmatrix}$$

Formulación Convexa para L2-SVM MT con Laplaciano

11. Apéndice E: Extensiones a L2 y LS-SVM

Problema Primal - L2-SVM Convexa con Laplaciano

$$\begin{aligned} \min_{\substack{v_1, \dots, v_T; \\ b_1, \dots, b_T; \\ \xi, w;}} \quad & C \sum_{r=1}^T \sum_{i=1}^{m_r} (\xi_i^r)^2 + \frac{\nu}{2} \sum_{r=1}^T \sum_{s=1}^T (A)_{rs} \|v_r - v_s\|^2 + \frac{1}{2} \sum_r \|v_r\|^2 + \frac{1}{2} \|w\|^2 \\ \text{s.t.} \quad & y_i^r (\lambda_r (\langle w, \phi(x_i^r) \rangle) + (1 - \lambda_r) (\langle v_r, \psi(x_i^r) \rangle) + b_r) \geq p_i^r - \xi_i^r \end{aligned}$$

Problema Dual - L2-SVM Convexa con Laplaciano

$$\begin{aligned} \min_{\alpha} \quad & \Theta(\alpha) = \frac{1}{2} \alpha^t \left\{ \left(\Lambda Q \Lambda + (I_n - \Lambda) \tilde{Q} (I_n - \Lambda) \right) + \frac{1}{C} I_n \right\} \alpha - p \alpha \\ \text{s.t.} \quad & 0 \leq \alpha_i^r, \quad i = 1, \dots, m_r, \quad r = 1, \dots, T, \quad \sum_{i=1}^{n_r} \alpha_i^r y_i^r = 0, \quad r = 1, \dots, T \end{aligned}$$

Formulación Convexa para LS-SVM MT con Laplaciano

11. Apéndice E: Extensiones a L2 y LS-SVM

Problema Primal - LS-SVM Convexa con Laplaciano

$$\begin{aligned} \min_{\substack{v_1, \dots, v_T; \\ b_1, \dots, b_T; \\ \xi, w;}} \quad & C \sum_{r=1}^T \sum_{i=1}^{m_r} (\xi_i^r)^2 + \frac{\nu}{2} \sum_{r=1}^T \sum_{s=1}^T (A)_{rs} \|v_r - v_s\|^2 + \frac{1}{2} \sum_r \|v_r\|^2 + \frac{1}{2} \|w\|^2 \\ \text{s.t.} \quad & y_i^r (\lambda_r (\langle w, \phi(x_i^r) \rangle) + (1 - \lambda_r) (\langle v_r, \psi(x_i^r) \rangle) + b_r) = p_i^r - \xi_i^r \end{aligned}$$

Problema Dual - LS-SVM Convexa con Laplaciano

$$\left[\begin{array}{c|c} \mathbf{0}_{T \times T} & A^T Y \\ \hline YA & \left(\Lambda Q \Lambda + (I_n - \Lambda) \tilde{Q} (I_n - \Lambda) \right) + \frac{1}{c} I_n \end{array} \right] \begin{bmatrix} b_1 \\ \vdots \\ b_T \\ \alpha \end{bmatrix} = \begin{bmatrix} \mathbf{0}_T \\ p \end{bmatrix}$$